

МИНОБРНАУКИ РОССИИ

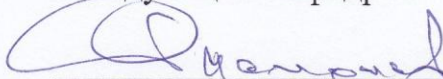
Федеральное государственное бюджетное
образовательное учреждение высшего образования
«Тульский государственный университет»

Институт высокоточных систем им. В.П. Грязева

Кафедра «Приборы управления»

Утверждено на заседании кафедры
«Приборы управления»
«19» января 2022 г., протокол №1

Заведующий кафедрой



В.Я. Распопов

**МЕТОДИЧЕСКИЕ УКАЗАНИЯ
по выполнению курсового проекта
по дисциплине (модулю)
«Электроника систем ориентации, стабилизации
и навигации»**

**основной профессиональной образовательной программы
высшего образования – программы бакалавриата**

по направлению подготовки
24.03.02 – Системы управления движением и навигация

с направленностью (профилем)
**Приборы и системы ориентации, стабилизации
и навигации**

Форма(ы) обучения: очная

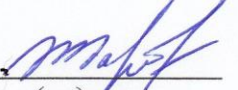
Идентификационный номер образовательной программы: 240302-01-2022

Тула 2022 год

Разработчик(и) методических указаний

Иванов Ю.В., профессор кафедры ПУ, д. т.н.

(ФИО, должность, ученая степень, ученое звание)


(подпись)

Содержание

	C.
Введение	4
1. Цель и задачи КП	4
2. Основные требования к курсовому проекту	4
2.1. Тематика курсового проекта	4
2.2. Исходные данные к курсовому проекту	4
2.3. Задание на курсовой проект	4
2.4. Требования к содержанию и оформлению КП	5
2.5. Работа над курсовым проектом	5
2.6. Защита курсового проекта	5
3. Методические указания к работе над курсовым проектом	5
3.1 План построения и содержание пояснительной записи	5
3.2. Методические указания по выполнению отдельных разделов курсового проекта	6
Этап 1. Анализ требований технического задания, выбор элементной базы и технологии изготовления	9
Этап 2. Выбор функционально-необходимой части	
Этап 3. Расчёт регулирующего элемента	
Этап 4. Расчёт источника эталонного напряжения	
Этап 5. Расчёт усилителя сигнала рассогласования	
Этап 6. Определение ёмкости выходного конденсатора	
Список использованных источников	
Приложение А – Варианты задания на курсовой проект	

Введение

Настоящие методические указания определяют задачи, цель и организацию выполнения курсового проекта (КП) по дисциплине «Электроника систем ориентации, стабилизации и навигации»; требования к содержанию и объему КП, оформлению текстовой части и графической документации, порядок представления КП к защите.

1. Цель и задачи КП

КП по дисциплине «Электроника систем ориентации, стабилизации и навигации» является профилирующим при подготовке бакалавров по направлению 24.03.02 «Системы управления движением и навигация» по профилю «Приборы и системы ориентации, стабилизации и навигации».

Цель КП – систематизация, закрепление, углубление и обобщение знаний, полученных студентами при изучении дисциплины «Электроника систем ориентации, стабилизации и навигации».

Задачи КП – приобретение навыков проектирования, алгоритмов расчета и методик определения параметров элементов источников вторичного электропитания, составления электрических принципиальных схем приборов, разработки печатных плат, подготовки конструкторской документации на электронные блоки в составе электрической принципиальной схемы, деталировки печатной платы и сборочного чертежа.

2. Основные требования к курсовому проекту

2.1. Тематика курсового проекта

В качестве КП студенты получают задание на тему «Проектирование вторичного источника электропитания». В процессе выполнения КП должны быть проведены следующие работы:

1. Расчет параметров и выбор источника опорного напряжения;
2. На основании задания выбор типа и расчет параметров элементов выпрямительной схемы, цепи фильтрации напряжения;
3. Расчет параметров и выбор электронных компонентов регулирующего элемента;
4. Расчет и выбор элементов усилителя сигнала рассогласования;
5. Вычисление показателей качества спроектированного устройства;
6. Разработка комплекта конструкторской документации.

2.2. Исходные данные к курсовому проекту

Исходные данные к курсовому проекту:

1. Выходное напряжение на нагрузке U_n ;
2. Потребляемый на нагрузке ток I_n ;
3. Допустимое отклонение напряжения на нагрузке при всех режимах эксплуатации ΔU_n ;
4. Отклонения напряжения питающей сети ΔU_n ;
5. Пульсация напряжения питающей сети ΔU_t пульс n ;
6. Допустимая пульсация напряжения на нагрузке U_t пульс n ;
7. Допустимая частота пульсации выходного напряжения $f_{пульс}$;
8. Допустимая амплитуда пульсации с частотой 100 Гц ΔU_n ;
9. Температурный диапазон функционирования ИВЭП T .

2.3. Задание на курсовой проект

Варианты заданий на курсовой проект приведены в Приложении А.

2.4. Требования к содержанию и оформлению КП

Задание на КП, содержащее наименование темы, постановку задачи и исходные данные, оформляются на типовом бланке, подписываются руководителем и студентом.

Законченная работа должна состоять из расчетной пояснительной записи и графического материала. Объем расчетно-пояснительной записи не менее 20 страниц текста, оформленного в соответствии с требованиями. Объем графического материала – три листа формата А1.

Все страницы текста, а также все рисунки, таблицы и формулы расчетно-пояснительной записи должны быть пронумерованы.

При выполнении вычислений расчетные формулы сначала приводятся в общем виде, затем после подстановки в них числовых значений и, наконец, результат с указанием размерности.

Расшифровка символов, входящих в формулу должна быть приведена непосредственно под формулой (если они не были введены ранее).

При использовании литературных источников обязательно делается ссылка на источник. При этом в квадратных скобках указывается его порядковый номер по перечню использованной литературы и номер страницы, например, [3, стр.79].

Подробная информация о правилах оформления расчетно-пояснительных записок приведена в ГОСТ 2.106.-96.ЕСКД. Текстовые документы. – М.: Изд-во стандартов, 1997. – 48с.

Графическая часть КП должна быть выполнена в соответствии с действующими стандартами единой системы конструкторской документации (ЕСКД) (Сборник ГОСТов 351А. ЕСКД. Общие правила выполнения чертежей. – М.: Изд-во стандартов, 1995.- 232с.)

Правила оформления списка использованных источников определены ГОСТ 7.1-84.

2.5. Работа над курсовым проектом

На выполнение и защиту КП отводится 40 часов самостоятельной работы студентов. Выполнение КП начинается с изучения настоящих методических указаний и анализа задания.

В процессе выполнения КП студент может пользоваться консультациями и должен не реже одного раза в две недели доводить до руководителя КП отчет о ходе выполнения работы. Курсовой проект выполняется в соответствии с графиком, который доводится до студентов одновременно с выдачей задания.

2.6. Защита курсового проекта

При подготовке к защите КП студент составляет доклад, рассчитанный примерно на 5 минут. В докладе должна быть сформулирована поставленная задача, изложены пути и методы ее решения, полученные результаты. Особенно следует подчеркнуть практическую целесообразность принятия тех или иных решений и возможность их технической реализации. После доклада студент отвечает на вопросы по содержанию работы, общетеоретическому материалу.

После защиты студент сдает графические материалы и пояснительную записку зав. лабораторией кафедры.

3. Методические указания к работе над курсовым проектом

3.1 План построения и содержание пояснительной записи

Пояснительная записка должна брошюроваться в следующем порядке:

1. Титульный лист (приложение 1).
2. Задание на КП (на бланке).
3. Содержание.
4. Введение.
5. Основная часть.
6. Заключение.
7. Список используемой литературы.

Во введении приводятся сведения, касающиеся состояния вопроса, поставленного в задании, с обзором соответствующей технической литературы и патентов, анализ реализованных схем и конструкций. Окончанием введения должна быть постановка задачи проектирования. Объем введения не более 5 страниц.

Содержание основной части расчетно-пояснительной записи зависит от темы КП, метода решения поставленной задачи.

В заключении приводятся технические характеристики рассчитанного прибора или системы, показывается в какой степени, полученные характеристики отвечают требованиям технического задания.

В графическую часть курсового проекта входит выполнение чертежей, схем и графиков, перечень которых определяется с учетом характера задания.

3.2. Методические указания по выполнению отдельных разделов курсового проекта

Источниками вторичного электропитания (ИВЭП) по своей физической сущности являются преобразователями вида и качества электрической энергии. Довольно редко (и только в автономных системах) удается осуществить питание всех устройств непосредственно от первичного источника электроэнергии, т.е. от преобразователя неэлектрической энергии в электрическую. В большинстве случаев первичный источник или стандартная сеть по частоте, стабильности и напряжению оказываются непригодными для питания электронных устройств. Поэтому возникает необходимость преобразования электрической энергии.

Класс устройств, преобразующих электрическую энергию, весьма разнообразен и охватывает диапазон мощностей от долей ватта до нескольких тысяч киловатт. Преобразователи электрической энергии используются в наземных стационарных установках, на автомобилях, кораблях и летательных аппаратах. Поэтому первичные источники могут быть весьма различными, а преобразуемые напряжения - постоянными от нескольких вольт или переменными до сотен вольт.

Основной задачей проектирования ИВЭП является их миниатюризация, т. е. получение заданной мощности при минимальном объеме. Преодоление существующих трудностей возможно путем перехода от преобразования энергии на стандартных низких частотах (50 или 400 Гц) к преобразованиям на частотах в десятки и сотни килогерц при преимущественно прямоугольной форме напряжения.

Непрерывные компенсационные стабилизаторы напряжения (НКСН) относятся к наиболее распространенным устройствам вторичного электропитания и предназначены для поддержания в нагрузке заданного уровня напряжения. По принципу действия НКСН

является системой автоматического регулирования, работающей в режиме стабилизации. Наличие ООС по напряжению определяет его наиболее важные свойства.

Основными возмущающими воздействиями являются: изменение и пульсации напряжения источника питания и тока нагрузки, температурный и технологический разброс параметров и характеристик элементов стабилизатора (в некоторых случаях к ним следует отнести временной дрейф параметров). Возмущения могут быть приложены к любой точке схемы, но наибольшее дестабилизирующее воздействие они оказывают на входные цепи стабилизатора.

Выпрямительные устройства используются для преобразования переменного напряжения питающей сети в постоянное напряжение требуемой величины.

Выпрямительное устройство в большинстве случаев состоит из трансформатора, преобразующего переменное напряжение питающей сети в более высокое или низкое, полупроводниковых диодов, осуществляющих выпрямление переменного напряжения, и сглаживающего фильтра, уменьшающего пульсации выпрямленного напряжения.

Основным элементом выпрямительного устройства является диод, который представляет собой нелинейный прибор. Сопротивление диода для тока, протекающего в прямом направлении значительно меньше, чем сопротивление для обратного тока, т. е. диод обладает свойством односторонней проводимости. В настоящее время в основном применяются кремневые полупроводниковые диоды.

Для работы выпрямителей принципиальное значение имеет характер нагрузки, включённой на выходе выпрямителя, т. е. схема сглаживающего фильтра.

Выпрямители, работающие на фильтр, начинающийся с ёмкости (с ёмкостной реакцией), используются в широком диапазоне выпрямленных напряжений и мощностей. Трансформаторы этих выпрямителей имеют большую габаритную мощность по сравнению с выпрямителями с индуктивным фильтром. К недостаткам выпрямителей с ёмкостным фильтром относится большая амплитуда тока через диод.

Выпрямители без сглаживающего фильтра применяются сравнительно редко в тех случаях, когда пульсация напряжения на нагрузке не имеет существенного значения. Сглаживающий фильтр также часто отсутствует в схемах многофазных выпрямителей, имеющих малую пульсацию выпрямленного напряжения.

Принцип работы ИВЭП

Рассмотрим на базе ИВЭП в котором в качестве усилителя сигнала рассогласования используется операционный усилитель.

Поникающий трансформатор подает на вход выпрямительного моста переменное напряжение $U_{\text{вх}}$. С выпрямителя на вход блока стабилизации поступает выпрямленное напряжение U_o .

При изменении стабилизированного напряжения U_H на величину ΔU_H происходит пробой стабилитрона и через него идет ток $I_{\text{ст ном}}$. Операционный усилитель (ОУ) усиливает положительное напряжение, в результате чего закрывается транзистор VT2, который управляет выходным транзистором VT1 - при закрытии VT2 закрывается VT1, в результате чего напряжение U_H на выходе стабилизатора понижается до тех пор, пока не станет равным величине U_H .

При понижении напряжения на нагрузке U_H на величину ΔU_H стабилитрон закрывается, ОУ усиливает отрицательное напряжение и выдаёт его на базу последнего транзистора регулирующего элемента, в результате чего первый транзистор регулирующего элемента открывается, что приводит к увеличению U_H , таким образом происходит поддержание U_H на выходе стабилизатора.

Исходные данные для проектирования

В зависимости от варианта задания в качестве усилителя сигнала рассогласования могут использоваться либо усилитель, построенный на базе микросхемы операционного усилителя, либо усилитель, построенный на базе транзистора.

Рассмотрим пример расчета параметров и выбора элементов ИВЭП для следующих исходных данных:

1. Выходное напряжение на нагрузке $U_n=5V$;
2. Потребляемый на нагрузке ток $I_n=5A$;
3. Допустимое отклонение напряжения на нагрузке при всех режимах эксплуатации $\Delta U_n = \pm 2\%$;
4. Отклонения напряжения питающей сети $dU_n = +15/-10\%$;
5. Допустимая пульсация сети $\Delta U_{\text{пульс}} = 0.1V$;
6. Допустимая пульсация напряжения на нагрузке $U_{\text{пульс}} = 5 \text{ мВ}$;
7. Допустимая частота пульсации выходного напряжения $f_{\text{пульс}} = 100 \text{ Гц}$;
8. Допустимая амплитуда пульсации с частотой 100 Гц $\Delta U_n = 0.1mV$
9. Температурный диапазон функционирования ИВЭП $T = 0^\circ C - +30^\circ C$.

Этапы проектирования ИВЭП

Этап 1. Анализ требований технического задания, выбор элементной базы и технологии изготовления

Анализ требований данного задания показывает, что стабилизатор должен иметь довольно высокие коэффициенты фильтрации и стабилизации, достаточно жестко ограниченные параметры переходного процесса. Подлежит решению проблема обеспечения устойчивости. Не предъявлены специальные требования к ограничению технологического разброса параметров элементов, под воздействием различных возмущений изменения параметров должны быть учтены при обеспечении статических и динамических характеристик НКСН.

Этап 2. Выбор функционально-необходимой части

Для уменьшения энергетических потерь выбирается схема с последовательным включением РЭ (регулирующий элемент), поскольку она более экономична, чем схема с параллельным включением РЭ. В качестве схемы управления регулирующим элементом принимается серийный операционный усилитель, а в качестве источника эталонного напряжения - параметрический стабилизатор напряжения.

Этап 3. Расчёт регулирующего элемента

При статическом расчёте по току нагрузки I_P и максимальному напряжению питания $U_{n \max}$ определяются количество и тип РЭ. При этом основным критерием при выборе количества, как и при выборе режима их работы, является минимизация электрических потерь в РЭ. Помимо этого в статический расчёт входит выбор элементов источника эталонного напряжения, сопротивлений резисторов цепи ООС, определяется коэффициент усиления ОУ, необходимый для стабилизации, фильтрации, выходного сопротивления. Статический расчёт проводится в следующем порядке:

Выберем количество и тип транзисторов РЭ:

Ток коллектора оконечного транзистора

$$I_k = I_H(1+d_y),$$

где $d_y=0.05$, так как предполагается, что вспомогательные цепи управления увеличивают ток нагрузки коллектора транзистора РЭ на 5%:

$$I_k = 5(1 + 0,05) = 5,25A.$$

Количество транзисторов в РЭ определяется следующим образом:

$$n - 1 = \frac{\lg \frac{I_H}{I_{OY} * h_{21\Theta}}}{\lg h_{21\Theta}}$$

где $h_{21\Theta i}=h_{21\Theta 0}*H_i$; m - расчётный коэффициент, выбираемый из интервала [0 - 4]; I_{OY} - выходной ток ОУ; $h_{21\Theta 0}$ - типовой (расчётный) статический коэффициент передачи тока транзистора; i - порядковый номер транзистора.

Принимая $I_{OY} = 8mA$, $h_{21\Theta 0} = 20$ (для мощных транзисторов), $h_{21\Theta 02} = 50$ (для транзисторов малой и средней мощности) и выбирая для всех транзисторов $m_p = 1$, поскольку чем меньше m_p , тем выше КПД НКСН, получаем

$$H = 1 + 0,092 e^{-0,2(1+1)} = 0,42; h_{21\Theta 1} = 8,4; h_{21\Theta 2} = 21;$$

$$n - 1 = \frac{\lg \frac{5,25}{8 * 10^{-3} * 8,4}}{\lg 21} \approx 1,4$$

Для дальнейших расчётов принимаем количество транзисторов в РЭ $n = 2$.

Напряжение на РЭ (если применяются транзисторы одного типа проводимости) равно

$$U_{P\Theta} = U_{K\Theta}(1+m_p)+(n-1)U_{B\Theta},$$

где $U_{K\Theta}$, $U_{B\Theta}$ - напряжение коллектор-эмиттер и напряжение база-эмиттер. Для $U_{K\Theta}=1,8V$ и $U_{B\Theta}=0,7V$

$$U_{P\Theta} = 1,8 - (1+1) + 1 - 0,7 = 4,3V.$$

Минимально необходимое напряжение источника питания

$$U_{n, min} = U_n + U_{P\Theta min} + U_m \text{ пульс. } n, \text{ т. е. } U_{n, min} = 5 + 4,3 + 0,1 = 9,4V$$

С учётом допуска на изменения напряжения питания номинальный и максимальный уровни составляют:

$$U_{n, nom} = \frac{U_{n, min}}{1 - \delta_-} = \frac{9,4}{1 - 0,1} = 10,4V$$

$$U_{n, max} = U_{n, nom} * (1 + \delta_+) = 11,96V \approx 12V$$

Поскольку на выходе стабилизатора может быть включён конденсатор, то в момент включения всё напряжение источника питания будет приложено к РЭ. Поэтому выбор оконечного транзистора производится по $U_{n, max}$ и

$$I_{k, max} = (1,5 \div 2) - I_k = 9A.$$

Выбираем транзистор КТ927В с параметрами $I_{k, max} = 10A$, $U_{K\Theta} = 35V$, $h_{21\Theta 1} = 40 \div 100$ (для дальнейших расчётов принимаем $h_{21\Theta 1}=40$).

Второй транзистор РЭ выбираем по $U_{n, max}$ и $I_{k, max}/h_{21\Theta P}$ предыдущего транзистора $=10/40=0,25A$.

Выбираем транзистор КТ630Б с параметрами $I_{k, max} = 1A$, $U_{K\Theta}=120V$, $h_{21\Theta 2} = 80 \div 240$ (для дальнейших расчётов принимаем $h_{21\Theta 2} = 80$).

Определяем коэффициент усиления РЭ по напряжению (с учётом параметров транзисторов РЭ в режиме, близком к граничному: $m_p = 1$; $r_k = 10 \Omega$;

$$R_H \parallel r_\Theta, \text{ где } R_H = \frac{U_n}{I_n} = 10\Omega, (R_H + r_\Theta)h_{21\Theta} > r_b,$$

$$K_{P\Theta B} \approx \frac{r_{K1}}{R_H} \Rightarrow K_{P\Theta B} \approx \frac{10}{1} \approx 10$$

При таком режиме работы мощность рассеяния указанных транзисторов будет велика, что потребует достаточно большой поверхности теплоотвода.

Для транзистора КТ927В выбираем ребристый радиатор, т.к. у него большая площадь поверхности.

Пусть радиатор имеет следующие параметры:

Количество ребер: $n=16$.

Шаг ребер: $a=0,01$ м.

Толщина ребер: $b=0,001$ м.

Высота ребра радиатора: $H_1 = 0,03$ м.

Высота радиатора: $D=0,13$ м.

Толщина основания: $h=0,006$ м.

Степень черноты: $\epsilon = 0,9$, $T_p = 85^\circ\text{C}$.

Проведем проверочный расчет на предмет того, будет ли указанный радиатор рассеивать мощность 22,6 Вт.

1) Определим площади частей радиатора $S_1=(n-l)*a*D=0,0195 \text{ м}^2$

$$S_2=2(n-l)*H_1*D=0,117 \text{ м}^2.$$

$$S_3=2(H_1+h)*D=0,00936 \text{ м}^2$$

$$S_4=n*b(D+2H_1)+2h*B=0,0049 \text{ м}^2.$$

$$S_5=B*D=0,0196 \text{ м}^2.$$

2) Средняя арифметическая температура $T_m=72,5^\circ\text{C}$.

3) Температура ОС между ребрами $66,036^\circ\text{C}$.

4) Коэффициент теплообмена конвекцией $\alpha_{K12}=4,83 \text{ Вт}/\text{м}\cdot\text{К}$.

$$\alpha_{K345}=4,832 \text{ Вт}/\text{м}\cdot\text{К}.$$

5) Коэффициент теплообмена излучением $\alpha_{L12}=0,312 \text{ Вт}/\text{м}\cdot\text{К}$.

$$\alpha_{L345}=8,429 \text{ Вт}/\text{м}\cdot\text{К}.$$

6) Общая рассеиваемая мощность $P=23,93$ Вт. Таким образом выбранный радиатор обеспечивает рассеивание заданной мощности в 22,6 Вт.

Этап 4. Расчёт источника эталонного напряжения.

Рассчитывается требуемый ТКН стабилитрона ($\mu_{\mathcal{E}T}$) при условии, что температурные изменения выходного напряжения НКСН определяется стабилитроном эталонного источника напряжения:

$$\mu_{\mathcal{E}T} = \frac{2 * \delta U_n * 100\%}{c_B \Delta T},$$

где c_B - весовой коэффициент, определяющий степень воздействия температуры окружающей среды ($\Delta T = T_{\max} - T_{\min}$ - диапазон её изменения) на выходное напряжение стабилизатора. Для $c_B = 1$ получаем

$$\mu_{\mathcal{E}T} = \frac{2 * 0,02 * 100}{1 * 30} = 0,13\% / ^\circ\text{C}.$$

По ТКН и условию $U_{\text{ст. max}} < U_n$ выбираем стабилитрон типа КС139А с характеристиками $\mu_{\mathcal{E}T} = -0,10\% / ^\circ\text{C}$, $r_{\text{диф}} = 60 \text{ Ом}$, $I_{\text{ст. ном}} = 10 \text{ мА}$,

$$U_{\text{ст. ном}} = 3,9 \text{ В} \pm 10\%.$$

Определяем сопротивление балластного резистора

$$R_\delta = \frac{U_n - U_{\text{ст. max}}}{I_{\text{ст. ном}}} = \frac{5 - 4,29}{10 * 10^{-3}} = 71 \text{ Ом}$$

Мощность, рассеиваемая на этом резисторе

$$P_6 = I_{\text{ст}}^2 R_\delta = 0,01^2 * 71 = 7,1 * 10^{-5} \text{ Вт}.$$

Выбираем резистор типа С2-23 мощностью 0,062 Вт с сопротивлением 71 Ом.

По значению U_n и $U_{\text{ст.ном}}$ определяется коэффициент передачи цепи ООС по напряжению

$$\beta_{\text{OC}} = \frac{U_{\text{ст.ном}}}{U_n} = \frac{3.9}{5} = 0.78.$$

Этап 5. Расчёт усилителя сигнала рассогласования.

Определяется коэффициент усиления ОУ по требованиям к коэффициенту стабилизации и выходному сопротивлению стабилизатора

$$K_{\beta\text{OC}} = \max \left\{ \alpha_B \frac{\delta U_n * U_n}{\delta U_n * U_n K_{m\Theta e}}; b_B \frac{\Delta I_n (h_{21\Theta m} * r_\Theta + R_y + r_\text{f})}{\delta U_n * U_n * h_{21\Theta m}} \right\},$$

где α_B и b_B - весовые коэффициенты, связанные соотношением $\frac{1}{\alpha_B} + \frac{1}{b_B} = 1 - \frac{1}{c_B}$ и выбираемые так, чтобы значение $K_{\beta\text{OC}}$ (коэффициент передачи разомкнутого контура), рассчитываемое по выражениям в фигурных скобках, было примерно одинаковым.

Для $\alpha_B = 70$ и $b_B = 20$

$$K_{\beta\text{OC}} = \max \left\{ 70 \frac{0,15 * 10,4}{0,02 * 5 * 10} \approx 109; 20 \frac{0,5(40 * 05 + \frac{400}{80^2} + 2)}{0,01 * 5 * 40} \approx 110 \right\}$$

Коэффициент усиления ОУ определяется из следующего соотношения

$$K_{OY} = \frac{K_{\beta\text{OC}}}{\beta_{\text{OC}}} = \frac{110}{0.78} \approx 142$$

По K_{OY} выбирается ОУ типа К140УД6 с параметрами: $K_{OY} = 30000$,

$$U_n = \pm 5 \div 20 \text{ В}, I_{\text{ном.}} = 3 \text{ нА}, I_{\text{вх}} = 100 \text{ нА}, \Delta I_{\text{ex}} = 25 \text{ мА}, \Delta \Delta I_{\text{ex}} = 0.1 \text{ нА} / ^0 \text{С}, \\ U_{\text{доп.}} = 30 \text{ мкВ} / ^0 \text{С}$$

Определяем сопротивления резисторов в цепях смещения ОУ и ООС:

$$R_1 = \frac{U_{cm}}{q_d * I_{\text{ex}}} = \frac{3,9}{100 * 0,1 * 10^{-6}} = 390 \text{ кОм}$$

$$R_2 = \frac{U_H}{q_d * I_{\text{ex}}} - R_1 = \frac{5}{100 * 0,1 * 10^{-6}} - 390000 = 110 \text{ кОм}$$

где $q_d = \frac{I_d}{I_{\text{ex}}} = 100$; I_d – ток делителя $R_1 R_2$.

Для выбора резисторов рассчитаем их номинальные мощности:

$$P_1 = I_d^2 * R_1 = (1 * 10^{-5})^2 * 3.9 * 10^5 = 3.9 * 10^{-5} \text{ Вт}$$

$$P_2 = I_d^2 * R_2 = (1 * 10^{-5})^2 * 1,1 * 10^5 = 1,1 * 10^{-5} \text{ Вт}$$

Выбираем резистор R_1 - С2-23 с параметрами $P=0,062$ Вт, $R = 390$ кОм.

Выбираем резистор R_2 - С2-23 с параметрами $P=0,125$ Вт, $R = 110$ кОм.

Уточняется изменение выходного напряжения НКСН при воздействии температуры окружающей среды с учётом температурного дрейфа характеристик ОУ: $\delta U_H = S_H * A$, где

$$A \approx \frac{R_o}{R_o + R_y} * \frac{\Delta E_{cm}}{U_H} + \frac{\Delta U_{\text{доп.}}}{U_H} + \frac{R_1 * \Delta \Delta I_{\text{ex}}}{U_H}$$

$$S_n = \frac{(R_1 + R_2) * (R_o + R_y)}{(R_1 * R_o - R_2 * R_c)}$$

где $R_c = r_{\text{диф.}} = 600$ Ом,

$$\Delta U_{\partial p, np} = U_{\partial p, np} \Delta T = 9 * 10^{-4},$$

$$\Delta E_{cm} = \mu_{cm} * U_{cm} * \Delta T * 10^{-2} = 0.117$$

Этап 6. Определение ёмкости выходного конденсатора.

Уточняется коэффициент передачи разомкнутого контура по требованию к подавлению пульсаций источника питания. При этом решается вопрос о необходимости включения в выходной цепь НКСН конденсатора большой ёмкости.

Из предварительного расчёта следует, что для обеспечения допустимых изменений выходного напряжения стабилизатора в установившемся режиме (при медленных изменениях возмущений со стороны источника питания, потребителя и температуры окружающей среды) требуется коэффициент передачи разомкнутого контура не менее 110. Для заданного подавления пульсаций источника питания требуемое значение $K_{\beta, ос}$ должно быть не менее

$$K_{\phi} = \frac{U_{m, пульс. н}}{U_{m, пульс. н}} = \frac{0,1}{0,005} = 20$$

Так как подавление пульсаций осуществляется контуром регулирования, то необходимость крупногабаритного конденсатора как элемента пассивного фильтра отпадает.

Расчёт выпрямителя с ёмкостным фильтром

Расчёт выпрямителя с ёмкостным фильтром сводится к выбору схемы и типа диодов, расчёту режима работы диодов, определению параметров трансформатора и сглаживающего фильтра.

Выбор схемы выпрямителя с ёмкостным фильтром зависит от ряда факторов, которые должны учитываться в зависимости от требований, предъявляемых к выпрямительному устройству. К таким факторам относятся выпрямленное напряжение и мощность, частота пульсации выпрямленного напряжения, число диодов, обратное напряжение на диоде, коэффициент использования мощности трансформатора, напряжение вторичной обмотки,

Выбираем однофазную мостовую схему.

Схема характеризуется высоким коэффициентом использования мощности и поэтому используется в устройствах повышенной мощности при выходных напряжениях от десятков до сотен вольт.

$$I_{np, cp} = \frac{I_0}{2} = \frac{5.25}{2} = 2.625 A$$

$$U_{obr, u} \approx 1.5U_0 = 1.5 * 10.4 = 15.6 B$$

где $I_0 = I_k, U_0 = U_{n, nom}$

По полученным значениям $I_{pr, cp}$ и $U_{obr, u}$ выбираем диоды КД202А с параметрами:

$$I_{pr, cp} = 3,5 A, U_{obr, u} = 50 B, U_{pr} = 0,9 B.$$

Дифференциальное (внутреннее) сопротивление диода можно определить по приблизительной формуле

$$r_{di\phi} \approx \frac{U_{np}}{3I_{np, cp}} \approx \frac{0,9}{3 * 3,5} \approx 0,09 Om$$

Мощность, рассеиваемая на каждом диоде равна

$$P_d = I_{pr, cp} U_{pr} = 2,625 * 0,9 = 2,36 Bt .$$

В соответствии с рекомендациями [2] для диодов выбираем алюминиевый пластинчатый радиатор толщиной 3 мм, работающий в условиях естественной конвекции. Из-за сложностей изолирования диодов от радиаторов каждый диод установлен на отдельный радиатор, который изолируется от корпуса при сборке устройства.

Степень черноты радиатора $e = 0,9$.

Высота пластины $D=0,04$ м.

Для $D=0,04$ м по графику определяем коэффициент неравномерности температуры $g=0,99$.

Допустимая средняя поверхностная температура радиатора $128,7^{\circ}\text{C}$.

Перегрев радиатора $98,7^{\circ}\text{C}$.

Коэффициент теплообмена при естественной конвекции $8,05 \frac{Bm}{m^2 * K}$

Коэффициент теплообмена излучением $10,26 \frac{Bm}{m^2}$

Суммарный коэффициент теплообмена $19,45 \frac{Bm}{m^2 * K}$

Площадь теплоотдающей пластины радиатора $0,00187\text{m}^2$.

Размеры пластины радиатора для каждого диода $D:B:S=40:20:3$ мм. В центре пластины необходимо сделать отверстие с диаметром 5,5 мм и закрепить в нем диод с помощью шайбы и гайки М5.

Сопротивление обмоток трансформатора, приведённое к фазе вторичной обмотки, можно определить до расчёта трансформатора по приближённой формуле (для выпрямленных токов не менее 20 мА):

$$r_m \approx k_r \frac{U_0}{I_0 * f_c * B_m} \sqrt[4]{\frac{s * f_c * B_m}{U_0 * I_0}}$$

где k_r - коэффициент, зависящий от схемы выпрямителя, $k_r = 3,5$; s - число стержней трансформатора, несущих обмотки - для трансформатора с магнитопроводом броневого типа $s=1$; B_m - магнитная индукция в магнитопроводе трансформатора, $B_m = 1,6\text{Tl}$; f_c - частота питающей сети:

$$f_{n_{ульс}} = m * f_c \Rightarrow f_c = \frac{f_{n_{ульс}}}{m}, m = 2, f_c = \frac{100}{2} = 50\text{Гц}$$

$$r_m \approx 3,5 \frac{10,4}{5,25 * 50 * 1,6} \sqrt[4]{\frac{1 * 50 * 1,6}{10,4 * 5,25}} \approx 0,095\Omega$$

Индуктивность рассеяния обмоток трансформатора, приведённую к фазе вторичной обмотки, определим по формуле:

$$L_s = R_L \frac{s * U_0}{(p-1)^2 * I_0 * f_c * B_m} \sqrt[4]{\frac{U_0 * I_0}{s * f_c * B_m}}$$

где R_L - коэффициент, зависящий от схемы выпрямителя, $R_L = 0,05$; p - число чередующихся секций обмоток, если вторичная обмотка наматывается после первичной (или наоборот), $p=2$

$$L_s = 0,05 \frac{1 * 10,4}{(2-1)^2 * 5,25 * 50 * 1,6} \sqrt[4]{\frac{10,4 * 5,25}{1 * 50 * 1,6}} \approx 0,001$$

Определим тангенс угла φ , характеризующего соотношение между индуктивным и активным сопротивлениями фазы выпрямителя:

$$\operatorname{tg}\varphi = \frac{2\pi * f_c * L_s}{r}$$

где $r = 2r_{\text{диф}} + r_m = 2 * 0,09 + 0,095 = 0,2750\text{м}$.

$$\operatorname{tg}\varphi = \frac{2\pi * 50 * 0,001}{0,275} \approx 1,14 \Rightarrow \varphi = \arctg(1,14) \approx 49^{\circ}$$

Определим основной расчётный коэффициент $A_0 = \frac{I_0 * r}{m * U_0}$, где m - число фаз выпрямления, которое равно числу импульсов тока через ёмкость фильтра C_0 за период.

$$A_0 = \frac{5.25 * 0.275}{2 * 10.4} \approx 0.07.$$

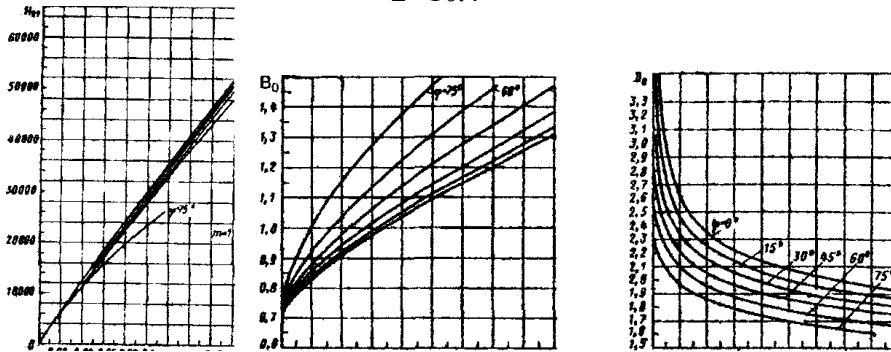


Рисунок 1 – Номограммы для определения B_0, D_0, F_0

Считая угол φ равным 45° , по графикам находим вспомогательные коэффициенты B_0, D_0, F_0 : $B_0 = 1,16$, $D_0 = 1,88$, $F_0 = 4,52$. Находим коэффициент H_{02} (по φ , A_0 , $m = 2$): $H_{02} = 14000$.

Определим ЭДС фазы вторичной обмотки трансформатора E_2 по формуле $E_2 = B_0 \cdot E_0$, где $E_0 = U_0$, $E_2 = 1,16 \cdot 10,4 = 12,06\text{В}$.

Уточним значение обратного напряжения по более точной формуле

$$U_{\text{обр.н}} = E_2 * \sqrt{2} = 12.06 * \sqrt{2} \approx 17.06\text{В}$$

$$I_{\text{нпр.н}} = \frac{I_0}{2} F_0 = \frac{5.25}{2} * 4.52 = 11.87\text{А}$$

Действующее значение тока вторичной обмотки рассчитаем по формуле

$$I_2 = D_0 \frac{I_0}{\sqrt{2}} = 1.88 * \frac{5.25}{\sqrt{2}} \approx 6.98\text{А}$$

Входную ёмкость фильтра C_1 , мкФ определяем по формуле

$$C_1 = \frac{H_{02} * 100\%}{r * f_c * R_{n01}}$$

где R_{n01} во избежание необходимости применения конденсаторов очень большой ёмкости рекомендуется выбирать не менее 2-3%. Для $R_{n01} = 10\%$

$$C_1 = \frac{14000 * 100\%}{0.275 * 50 * 10} \approx 10180\text{мкФ}$$

Рабочее напряжение конденсатора должно быть не менее $U_c = E_2 * \sqrt{2} \approx 15\text{В}$. Выбираем три конденсатора К50-24 с параметрами $U = 15\text{В}$, $C = 4700\text{мкФ}$, включённых параллельно.

$$\text{Определим коэффициент трансформации } n \approx \frac{E_2}{U_1} \approx \frac{12.06}{220} \approx 0.055.$$

Действующее значение тока первичной обмотки трансформатора (без учета тока холостого хода) определим как $I_1 = n * I_2 = 0.055 * 6.98 = 0.384$.

Расчёт однофазного трансформатора

Исходными данными для расчёта трансформатора являются: назначение, условия работы и требуемый срок службы; напряжение и частота питающей сети, электрическая схема трансформатора; действующие напряжения вторичных обмоток; допустимые напряжения короткого замыкания U_k или наличие тока холостого хода I_{0x} (при наличии ограничений по этим параметрам).

Расчёт трансформатора состоит из следующих этапов: выбор конструктивного исполнения, типа магнитопровода, расчётных критериев; расчёт габаритной мощности, определение типоразмера магнитопровода; выбор электромагнитных нагрузок: индукции, плотности тока; электрический расчёт трансформатора.

1. Расчёт габаритной мощности. Выбор типоразмера магнитопровода. Габаритная мощность ТММ определяется в зависимости от электрической схемы рассчитываемого трансформатора

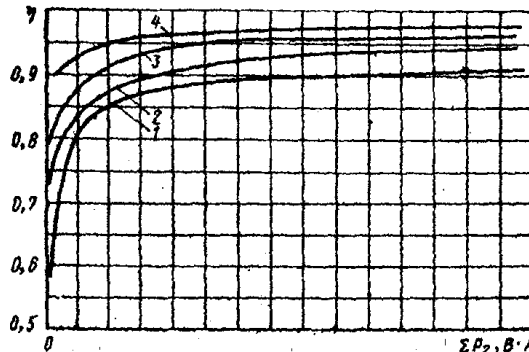


Рисунок 2 – Зависимость КПД трансформатора от суммарной выходной мощности.

$$P_T = \frac{\sum P_2}{2\Psi} (1 + \Psi)$$

где $P_2 = E_2 \cdot I_2$ - суммарная выходная мощность; коэффициент $\Psi = \eta_m * \cos \varphi$, для ТММ преобразователей напряжения при работе на выпрямитель $\Psi \approx \eta_m$.

При этом КПД (η_m) выбирается по графику в зависимости от суммарной выходной мощности $P_2 = 12,06 * 6,98 = 84,2 \text{ В} \cdot \text{А}$.

$$\eta_m = 0,87$$

По найденному значению габаритной мощности и заданным условиям расчёта ($f_c = 50 \text{ Гц}$) выбираем типоразмер магнитопровода ШЛ20 x 40.

Трансформатор броневого типа ($f=350 \text{ Гц}$ $\Delta T_{k, cp} = 55^\circ \text{C}$, сталь 3412(Э320) с толщиной $\delta = 0,35 \text{ мм}$).

$$a=20 \text{ мм}, b=40 \text{ мм}, c=20 \text{ мм}.$$

Для магнитопровода ШЛ20x40:

$W_0 = 4,3^{\text{виток}}/\text{В}$ - число витков на 1 вольт ЭДС, индуцируемой в обмотке трансформатора;

$U_k = 8,0\%$ - напряжение короткого замыкания;

$j = 2,6 \text{ А}/\text{мм}^2$ - плотность тока.

Электрический расчет трансформатора

Расчет падения напряжения в обмотках

Падение напряжения в обмотках определяется по формуле

$$U_{k.a.} = 0,01 * j * \rho * k_{cx} * W_0 * l_w$$

где $\rho = \rho_0 [1 + 0,004(T - T_0)]$, для меди $T_0 = 15^\circ \text{C}$; $T = 30^\circ \text{C}$; $\rho_0 = 0,0175 \frac{\Omega \cdot \text{мм}^2}{\text{м}}$, k_{cx} - коэффициент, характеризующий схемное выполнение обмоток ТММ, коэффициент

$k_p = \frac{\sum P_2}{\sum P_2 + \sum P_3}$ характеризует отношение выходной мощности обмоток без средней точки к суммарной выходной мощности,

$$k_p = 1, k_{cx} = 2$$

$$l_W = (\pi * x + 2 * y + 2) * a, x = \frac{c}{a}, y = \frac{b}{a}$$

$$l_W = \left(\frac{\pi * c}{a} + \frac{2 * b}{a} + 2 \right) * a = 182.8$$

$$U_{k.a.} = 0.01 * 2.6 * 0.019 * 2 * 3.9 * 182.8 \approx 0.7 e$$

Расчет числа витков обмоток

Число витков первичной и вторичной обмоток определяется по зависимостям приведенным ниже:

$$W_1 = W_0 * U_1 \left(1 - \frac{U_k}{2} \right) = 3.9 * 220 \left(1 - \frac{0.085}{2} \right) = 826$$

$$W_2 = W_0 * U_2 \left(1 + \frac{U_k}{2} \right) = 3.9 * 12.09 \left(1 + \frac{0.085}{2} \right) = 49$$

сечение и диаметр провода i -ой обмотки определяются по формуле

$$q_i = \frac{I_i}{j}; d_i = 1.13\sqrt{q_i}$$

$$q_1 = \frac{I_1}{j} = \frac{0.384}{2.6} \approx 0.15 \text{мм}^2, d_1 = 1.13\sqrt{0.15} \approx 0.43 \text{мм}$$

$$q_2 = \frac{I_2}{j} = \frac{6.98}{2.6} \approx 2.69 \text{мм}^2, d_2 = 1.13\sqrt{2.69} \approx 1.85 \text{мм}$$

Определение марки обмоточного провода

Марка обмоточного провода:

- для первичной обмотки $d_1 = 0.44 \text{мм}, q_1 = 0.1521 \text{мм}^2$;
- для вторичной обмотки $d_2 = 1.88 \text{мм}, q_2 = 2.776 \text{мм}^2$. Диаметр провода с изоляцией ПЭВ-2: $d_{u1} = 0.5 \text{мм}, d_{u2} = 3 \text{мм}^2$,

ПЭВ-2 - провод медный, круглого сечения, изолированный лаком ВЛ-931, с изоляцией нормальной толщины.

Особенности конструкции спроектированного стабилизатора

Спроектированный стабилизатор напряжения имеет $U_c = 220V$ и $U_H = 5V$ и состоит из понижающего трансформатора с типоразмером магнитопровода ШЛ20×40, выпрямительного моста на диодах, ёмкостного фильтра и блока стабилизации, выполненного на микросхеме К140УД6.

На выходе вторичной обмотки трансформатора $I_2 = 6.98A$ и $U_2 = 12.06V$, что соответствует входным параметрам диодного моста. Диодный мост состоит из четырёх диодов типа КД202А. Данный тип диодов имеет параметры, соответствующие расчётным $U_{обр.u} = 50V, I_{nр.cр.} = 3.5A$.

Для сглаживания токовых пиков в схему включён ёмкостный фильтр. Имея амплитуду пульсаций напряжения источника питания $U_{m\text{ пульс.п}} = 0,1\text{В}$ и $U_{n,\min} = 9,4\text{В}$ получаем коэффициент пульсации $\frac{U_{m\text{ пульс.п}}}{U_{n,\min}} * 100\% \approx 1\%$

Проведя необходимый расчёт, получили, что для подавления пульсаций первичного источника питания необходим фильтр, состоящий из трёх конденсаторов марки К50-24-15В-4700мкФ.

В соответствии с током нагрузки $I_H = 5A$ в цепь включили мощный транзистор VT1 марки КТ927В. Мощность рассеяния данного транзистора велика

$$P_p = U_{p_3} * I_k = 4,3 * 5,25 = 22,6\text{Вт}, \text{ч}$$

то требует ребристого теплоотвода.

Блок стабилизации смонтирован на разъёмной плате. В качестве разъёма выбран разъём марки СН053-20, имеющий 20 выводов, что полностью соответствует спроектированной плате.

На плате размещаются транзистор средней мощности марки КТ630Б (коэффициент усиления РЭ по напряжению с учётом параметров транзисторов в режиме близком к граничному $K_{P\beta} = 10$); стабилитрон марки КС139А с ТКН = -0,1%°С и $U_{ст.ном} = 3,9\text{В} < U_H = 5\text{В}$; балластный резистор $R_6=R_1=710\text{М}$ марки С2-23-0,062-71 Ом ±5%; микросхема К140УД6, выполняющая роль усилителя сигнала рассогласования, имеет $K_{оу} = 30000$; резисторы R_2 марки С2 - 23 - 0,062 - 390КОм ± 5% и R_3 марки С2-23 -0,062-110кОм±5%, входящие в цепи смещения ОУ и ООС ($\beta_{OC} = 0,78$); конденсаторы $C_1 - C_3$ марки К50 - 24 - 4700мкФ x 15В.

Список использованных источников

Основные

1. Максина Е.Л. Электроника [Электронный ресурс]: учебное пособие/ Максина Е.Л.— Электрон. текстовые данные.— Саратов: Научная книга, 2012.— 159 с.— Режим доступа: <http://www.iprbookshop.ru/6270>.— ЭБС «IPRbooks», по паролю.

Дополнительные

1. Скаржепа В.А. Электроника и микросхемотехника: учебник в 2 ч. Ч.1. Электронные устройства информационной автоматики / В.А. Скаржепа, А.Н. Луценко; под общ. ред. А.А. Краснопрошеной. – Киев: Выща школа. 1989. – 430 с.
2. Забродин Ю.С. Промышленная электроника: Учебник для вузов / Ю.С. Забродин – М.: Высш. школа, 1982. – 496 с.
3. Источники вторичного электропитания / С.С.Букреев, В.А.Головацкий, Г.Н.Гулякович и др.; Под.ред. Ю.И.Колева.-М.: Радио и связь, 1983.-280с.
4. Источники электропитания радиоэлектронной аппаратуры: Г.С.Найвельт, К.Б.Надель, Р.И.Хусаинов и др.; Под.ред. Г.С.Найвельта .-М.: Радио и связь. 1983г.-576с.
5. Полупроводниковые приборы: диоды, тиристоры, опто-электронные приборы: Справочник /А.В.Баюков, А.Б.Гицкевич, А.А.Зайцев и др.; Под общей редакцией Н.Н.Горюнова.-3-е изд., перераб. и доп.- М.: Энергоатомиздат, 1987.-744с.
6. Полупроводниковые приборы: транзисторы. Справочник /В.А.Аронов, А.В.Болоков, А.А.Зайцев и др.; Под общей редакцией Н.Н.Горюнова .-М.: Энергоатомиздат, 1982.-904с.
7. Аксенов А.И., Глушкова Д.Н. Мощные транзисторы в радиоустройствах.
8. Резисторы (справочник)/ Ю.Н.Андреев, А.И.Антонин, Д.М.Иванов и др.; Под ред. И.И.Четверикова.-М.: Энергоатомиздат, 1981.-352с.
9. ГОСТ 2.721-74 ; ГОСТ 2.756-76 Электросхемы.
10. ГОСТ 2.307-68; ГОСТ 2.316-68; ГОСТ 2.417-78 Правила выполнения чертежей печатных плат.
11. ГОСТ 2.710-81 Обозначения на электросхемах. Р-50-77-88 Правила выполнения графиков и диаграмм.

Приложение А – Варианты задания на курсовой проект

№ п/п	Усилитель	U_c	f_c	a_c	b_c	U_H	U_H^{\max}	U_H^{\min}	I_H^{\max}	I_H^{\min}	$t_{окр}^{\max}$	$t_{окр}^{\min}$	K_{cm}	r_H	$U_{n_{ул}}$ mB	γ_H mB $^{\circ}C$	U_H	I_H	δU_H	δU_{Π}	U_m $n_{ул}$ B	U_m $n_{ул}$ $нагр, мВ$	ΔU_H mB	$f_{n_{ул}}$ $Гц$	T $^{\circ}C$
1	Транзист.	220	50	10%	15%	12	15	10	1	0	60	-60	>300	<0.2	5	<5									
2	Микросх.															5	5	$\pm 2\%$	$+15\%$ -10%	0.1	5	0.1	100	± 60	
3	Транзист.	120	500	15%	15%	30	35	27	0.5	0	60	-60	>400	<0.1	2	<3									
4	Транзист.	220	50	10%	10%	24	27	22	1	0.1	60	-60	>350	<0.1	3	<10									
5	Микросх.															12	0.35	$\pm 0.5\%$	$\pm 15\%$	0.2	10	0.05	100	± 60	
6	Транзист.	40	1000	10%	10%	5	7	4	1	0.5	60	-60	>100	<0.1	10	<15									
7	Транзист.	220	50	10%	15%	45	50	40	0.7	0.1	60	-60	>300	<0.2	5	<5									
8	Микросх.																24	0.5	$\pm 1\%$	$\pm 15\%$	0.5	15	0.8	100	± 60
9	Микросх.																15	1	$\pm 0.5\%$	$\pm 10\%$	0.1	10	0.2	1000	± 60
10	Транзист.	36	400	10%	15%	9	12	7	1	0	60	-60	>400	<0.2	10	<10									
11	Транзист.	220	50	10%	15%	60	65	55	0.2	0	60	-60	>100	<0.1	5	<5									
12	Транзист.	220	50	10%	15%	15	18	12	0.7	0	60	-60	>400	<0.2	5	<2									
13	Микросх.																5	1	$\pm 0.5\%$	$\pm 10\%$	0.3	10	0.1	800	± 60
14	Микросх.																5	3	$\pm 1\%$	$\pm 10\%$	0.1	5	0.1	100	± 60
15	Микросх.																9	5	$\pm 1\%$	$\pm 15\%$	0.1	5	0.3	100	± 60
16	Микросх.																10	1.5	$\pm 0.5\%$	$\pm 10\%$	0.1	10	0.1	800	± 60
17	Микросх.																15	3	$\pm 1\%$	$\pm 10\%$	0.05	5	0.2	100	± 60
18	Транзист.	120	400	10%	15%	15	20	12	0.5	0.1	60	-60	>400	<0.1	10	<10									
19	Транзист.	220	50	10%	15%	13	15	10	1	0	60	-60	>300	<0.5	5	<10									
20	Микросх.																7	0.8	$\pm 1\%$	$\pm 15\%$	0.1	10	0.1	100	± 60
21	Микросх.																20	0.6	$\pm 2\%$	$\pm 10\%$	0.1	5	0.3	800	± 60
22	Микросх.																9	1	$\pm 1\%$	$\pm 15\%$	0.2	10	0.1	100	± 60
23	Транзист.	220	50	10%	15%	7	8	6	0.8	0	40	-35	>300	<0.1	10	<15									
24	Транзист.	36	400	10%	15%	18	20	15	0.5	0	35	-35	>400	<0.1	15	<10									
25	Микросх.																15	5	$\pm 0.5\%$	$\pm 10\%$	0.1	10	0.2	100	± 40
26	Микросх.																18	1.5	$\pm 0.5\%$	$\pm 10\%$	0.1	10	0.1	800	± 50